

ХИМИЯ

УДК 547.791.9, 547.795

Статья посвящается юбилею академика РАН Ирины Петровны Белецкой

МЕТИЛИРОВАНИЕ И АМИНИРОВАНИЕ СОЛЕЙ $4H\text{-[1,2,3]ТРИАЗОЛО[4,5-}c\text{][1,2,5]ОКСАДИАЗОЛА}$

© 2023 г. С. П. Балабанова¹, А. А. Воронин^{1,*}, А. М. Чураков¹,
М. С. Кленов¹, академик РАН В. А. Тартаковский¹

Поступило 28.11.2022 г.

После доработки 16.01.2023 г.

Принято к публикации 20.01.2023 г.

Впервые изучены реакции метилирования и аминирования солей (K^+ , Ag^+ , Et_3NH^+ , DBUH^+) $4H\text{-[1,2,3]триазоло[4,5-}c\text{][1,2,5]оксадиазола}$. Показано, что в реакции этих солей с MeI образуются два метилированных продукта, причем в случае K - и Et_3N -солей 4- и 5-изомеры образуются в равных долях, а в случае Ag - и DBU -солей основным продуктом является 4-изомер. Найдено, что основным продуктом аминирования как K -, так и DBU -соли $4H\text{-[1,2,3]триазоло[4,5-}c\text{][1,2,5]оксадиазола}$ O -(*n*-толилсульфонил)гидроксиламином является 4-азидо-3-амино-1,2,5-оксадиазол. Предложен механизм его образования в результате перегруппировки 5-амино-[1,2,3]триазоло[4,5-*c*][1,2,5]оксадиазола.

Ключевые слова: 1,2,3-триазолы, 1,2,5-оксадиазолы, аминирование, метилирование

DOI: 10.31857/S2686953522600805, **EDN:** ZGDGAZ

Одна из современных стратегий создания энергоемких соединений с высокими эксплуатационными характеристиками заключается в сочетании в одной молекуле нескольких энергоемких гетероциклов (фуразанов, фуроксанов, триазолов, тетразолов, тетразинов, N-оксидов гетероциклов) таким образом, чтобы максимально реализовать заложенный в них потенциал [1]. В отдельную группу можно выделить соединения, состоящие из двух полиазотных гетероциклов, сконденсированных по связи C–C. Эти гетероциклические системы обладают плоской сопряженной структурой и большим количеством связей N–N и C–N. Такие структурные особенности характеризуются высокой энталпийей образования соединений и обеспечивают их высокую термическую стабильность.

Одной из таких систем является $4H\text{-[1,2,3]триазоло[4,5-}c\text{][1,2,5]оксадиазол}$ (триазолофуразан) **1**, который может служить каркасом для новых энергоемких молекул. Это соединение было получено по ранее описанной методике гидролизом

[1,2,5]оксадиазоло[3,4-*e*][1,2,3,4]тетразин-4,6-диоксида при 80°C в течение 5 ч с выходом 75% [2, 3].

Ранее нами были синтезированы $4H\text{-[1,2,3]триазоло[4,5-}c\text{][1,2,5]оксадиазол-5-оксид}$ и его соли (калиевая, серебряная, аммониевая, гидразиновая, гидроксиламмониевая, триаминогуанидиновая), некоторые из которых представляют интерес в качестве компонентов различных энергетических композиций [4].

Также ранее нами предложен новый селективный подход к синтезу замещенных 5-амино-[1,2,3]триазоло[4,5-*c*][1,2,5]оксадиазолов, которые обладают относительно высокой термостабильностью (температура начала интенсивного разложения >150°C) [5] и являются исходными веществами для синтеза потенциальных компонентов энергетических композиций.

Незамещенные 4- и 5-амино-[1,2,3]триазоло[4,5-*c*][1,2,5]оксадиазолы **2a** и **2b** могли бы служить исходными веществами для целого ряда энергоемких соединений. Поэтому целью настоящей работы являлся поиск подходов к синтезу таких соединений.

Одним из возможных путей их получения является аминирование триазолофуразана **1** или его солей электрофильными аминирующими реагентами (схема 1).

¹Институт органической химии им. Н.Д. Зелинского Российской академии наук, 119991 Москва, Россия
*E-mail: voronin@ioc.ac.ru

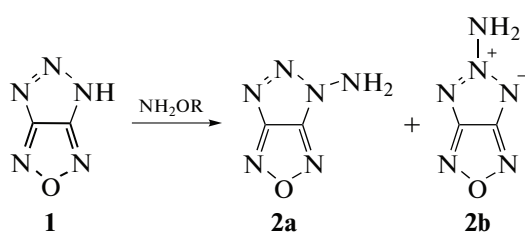


Схема 1. Предполагаемый путь синтеза 4- и 5-амино-[1,2,3]триазоло[4,5-c][1,2,5]оксадиазолов 2a и 2b.

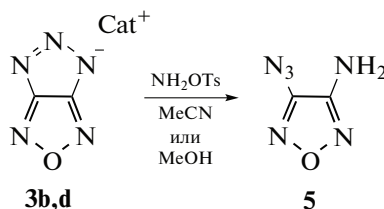
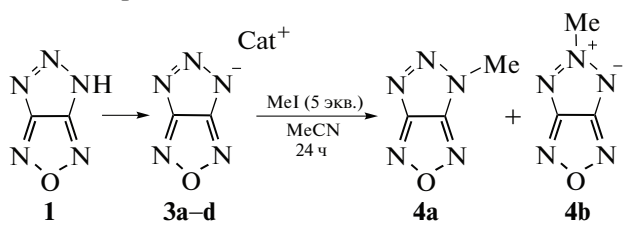


Схема 2. Аминирование солей 3b,d.

Известно, что аминирование 5-фенил-1,5-дигидро-[1,2,3]триазоло[4,5-d][1,2,3]триазола при помощи O-(мезитиленсульфонил)гидроксиламина (MSH) в ТГФ при 0°C приводит к образованию смеси 1- и 2-аминопродуктов в соотношении 1 : 2 с суммарным выходом 68% [6].

В случае бензотриазола направление аминирования сильно зависит от условий реакции. Так, при взаимодействии бензотриазола с гидроксиламин-O-сульфоновой кислотой в воде в присутствии KOH при 70°C образуется смесь 1- и 2-изомеров в соотношении 1 : 4 с суммарным выходом

Таблица 1. Метилирование солей 3a–d с помощью MeI в ацетонитриле



Cat⁺ = Ag⁺ (3a), K⁺ (3b), Et₃NH⁺ (3c), DBUH⁺ (3d)

Соль	Суммарный выход, %	Соотношение 4a : 4b в смеси ^a
3a (Ag ⁺)	76	63 : 37
3b (K ⁺)	26	50 : 50
3c (Et ₃ NH ⁺)	34	44 : 56
3d (DBUH ⁺)	21	85 : 15

^a По данным ¹H ЯМР.

70–75% [7]. Снижение температуры до 50°C приводит к формированию исключительно 1-изомера с выходом 32% [8]. Аналогичные результаты получены при проведении реакции в обводненном (5% воды) диоксане (выход 62%) или ДМФА (выход 70%). В случае использования этанола в качестве растворителя с количественным выходом получена смесь 1- и 2-изомеров в соотношении 2 : 1 [8].

На первом этапе работы нами была изучена модельная реакция – метилирование солей триазолофуразана 3a–d с помощью MeI в ацетонитриле в течение 24 ч, что позволило оценить соотношение образующихся изомеров (см. табл. 1). Быстрее всего протекает алкилирование Ag-соли 3a – за 24 ч суммарный выход метилированных продуктов составил 76%, причем преимущественно формируется 4-замещенный продукт 4a. За то же время из солей 3b и 3c образуются метилированные продукты с выходом от 26 до 34% соответственно (соотношение изомеров 4a и 4b равно примерно 1 : 1). Метилирование DBUH⁺-соли 3d (1,8-диазабицикло[5.4.0]ундец-7-ен) идет преимущественно по положению 4.

При аминировании солей 3b,d в ацетонитриле или метаноле при 0°C в качестве аминирующего реагента использовали O-(n-толилсульфонил)гидроксиламин (схема 2). Исходная соль полностью реагирует приблизительно в течение 15 мин (контроль методом тонкослойной хроматографии (TCX)), при этом ожидаемые 4- и 5-аминотриазолофуразаны 2a,b не были зафиксированы. В результате реакции из солей 3b,d в качестве основного продукта был получен 4-азидо-3-аминофуразан 5 с выходами 15 и 31% соответственно.

Предположительно, 4-азидо-3-аминофуразан 5 образуется из промежуточного 5-аминотриазолофуразана 2b (схема 3). В этом соединении амин, связанный сильным электроноакцепторным заместителем, обладает подвижным атомом водорода, что делает возможным таутомерное равновесие 2b ⇌ 2b'. Таутомер 2b' также может находиться в равновесии со своей открытой формой 2b'', миграция протона в которой приводит к азидоаминофуразану 5. Отметим, что превращение такого типа ранее не было известно. Как отмечалось выше, бензо- и триазоланелированные 2-аминотриазолы являются стабильными веществами.

Поскольку метилирование в модельных реакциях проходит как по положительному 4, так и по положительному 5 фуразанотриазольного ядра, естественно предположить, что и аминирование также должно было бы проходить по обоим положениям. Однако на пластинах TCX, проявляемых с помощью УФ-лампы, мы наблюдали, помимо солей сульфокислот, единственный продукт – 4-азидо-3-аминофуразан 5. Можно пред-

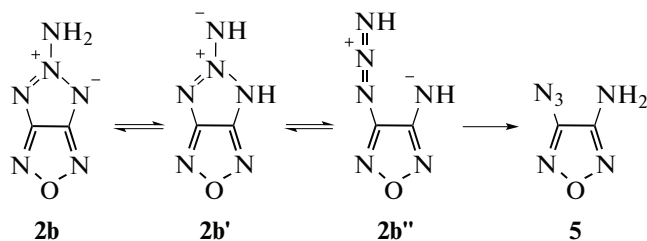


Схема 3. Предполагаемый механизм образования 4-азидо-3-аминофуразана 5 из 5-аминотриазолофуразана 2b.

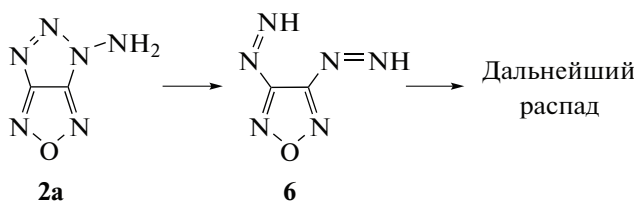


Схема 4. Предполагаемый путь распада 4-аминотриазолофуразана 2a.

положить, что 4-аминозамещенное соединение 2a также формировалось, но распадалось в условиях реакции с образованием низкомолекулярных продуктов, которые не обнаруживаются с помощью ТСХ при проявлении в УФ-свете.

Неустойчивость 4-аминотриазолофуразана 2a можно объяснить высокой подвижностью атомов водорода аминогруппы, обусловливающей возможность перегруппировки в соединение 6, которое может легко распадаться (схема 4).

Структуры метильных продуктов 4a,b подтверждены методами ЯМР-спектроскопии на ядрах ¹H, ¹³C и ¹⁴N, ИК-спектроскопии и масс-спектрометрии высокого разрешения (HRMS). В спектрах ¹H ЯМР сигнал протонов CH₃-заместителя в молекуле 4b находится в более слабом поле ($\delta = 4.79$ м. д.), чем сигнал этого же заместителя в соединении 4a ($\delta = 4.39$ м. д.).

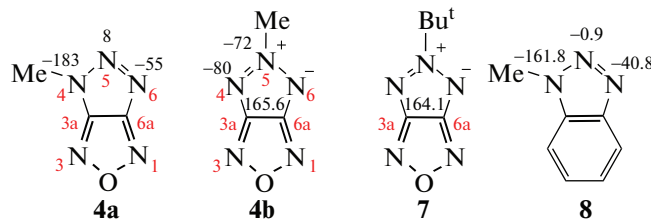


Рис. 1. Значения химических сдвигов сигналов ¹⁴N ЯМР для соединений 4a и 4b, ¹⁵N ЯМР для соединения 8, и сигналов ¹³C ЯМР для соединений 4b и 7.

Спектр ¹³C ЯМР соединения 4a содержит два сигнала при $\delta = 154.2$ м. д. (C(3a)) и $\delta = 171.2$ м. д. (C(6a)), отнесение которых сделано при помощи двумерной ЯМР-спектроскопии (¹H–¹³C НМВС). В силу симметричности структуры 4b в спектре ¹³C ЯМР атомы C(3a) и C(6a) эквивалентны и наблюдаются как один пик при $\delta = 165.6$ м. д. Ранее в литературе было описано *трем*-бутильное производное триазолофуразана 7, у которого сигналы атомов C(3a) и C(6a) зарегистрированы в той же области при $\delta = 164.1$ м. д. [2].

Спектр ¹⁴N ЯМР соединения 4b содержит узкий сигнал положительно заряженного атома N(5) при $\delta = -72$ м. д. ($v_{1/2} = 45$ Гц) и уширенный сигнал, соответствующий атомам N(4) и N(6) триазольного цикла при $\delta = -80$ м. д. ($v_{1/2} = 280$ Гц), а также сигналы N(1) и N(3) фуразанового цикла $\delta = 28$ м. д. ($v_{1/2} = 400$ Гц). В спектре ¹⁴N ЯМР соединения 4a присутствует полный набор уширенных сигналов: $\delta = 54$ м. д. (N(1) или N(3), $v_{1/2} = 280$ Гц), 23 м. д. (N(1) или N(3), $v_{1/2} = 400$ Гц), 8 м. д. (N(5), $v_{1/2} = 260$ Гц), -55 м. д. (N(6), $v_{1/2} = 180$ Гц), -183 м. д. (N(4), $v_{1/2} = 270$ Гц). Отнесение сигналов сделано по аналогии с литературными данными для 1-метилбензотриазола 8 (рис. 1) [9].

Таким образом, нами показано, что метилирование солей 3a–d (K⁺, Ag⁺, Et₃NH⁺, DBUH⁺) 4H-[1,2,3]триазоло[4,5-*c*][1,2,5]оксадиазола в ацетонитриле с помощью MeI в течение 24 ч протекает с образованием 4- и 5-метилированных продуктов 4a,b. Аминирование K- и DBU-солей 3b,d приводит к образованию 4-азидо-3-амино-1,2,5-оксадиазола 5, который, предположительно, является продуктом перегруппировки 5-амино-[1,2,3]триазоло[4,5-*c*][1,2,5]оксадиазола. Сделано предположение, что изомерный 4-амино-[1,2,3]триазоло[4,5-*c*][1,2,5]оксадиазол нестабилен в условиях реакции.

ЭКСПЕРИМЕНТАЛЬНАЯ ЧАСТЬ

Спектры ¹H, ¹³C и ¹⁴N ЯМР зарегистрированы на приборе Bruker DRX-500 с частотами 500.13, 125.76 и 36.14 МГц соответственно. Химические сдвиги приведены относительно SiMe₄ (¹H, ¹³C) или MeNO₂ (¹⁴N, внешний стандарт, сильнопольные химические сдвиги отрицательны). ИК-спектры записаны на спектрометре Bruker ALPHA-T. Ход реакции контролировали с помощью тонкослойной хроматографии (Merck silica gel 60 F254). Для preparative хроматографии использовали силикагель Merck (15–40 мкм). Химические реактивы закуплены в фирме Acros Organics и использованы без дополнительной очистки. Органические растворители перегоняли перед использованием. По известным методикам полу-

чены: [1,2,3]триазоло[4,5-*c*][1,2,5]оксадиазол **1** [2], *O*-(*n*-толилсульфонил)гидроксиламин [10].

Внимание! Соединения, полученные в этой работе, чувствительны к удару и трению, и с ними следует обращаться как со взрывоопасными. Ag- и K-соли особенно чувствительны к удару и трению, и с ними следует обращаться как с инициирующими ВВ.

Ag-Соль 4Н-[1,2,3]триазоло[4,5-*c*][1,2,5]оксадиазола 3а. К суспензии триазолофуразана **1** (222 мг, 2 ммоль) в H₂O (5 мл) при интенсивном перемешивании прибавили AgNO₃ (400 мг, 2.33 моль) при комнатной температуре. Реакционную смесь перемешивали при этой температуре в течение 1 ч, после чего осадок отфильтровали, промыли H₂O (3 × 5 мл) и сушили под вакуумом. Получили порошок желтого цвета (388 мг, 89%), который использовали в дальнейших реакциях без очистки.

K-Соль 4Н-[1,2,3]триазоло[4,5-*c*][1,2,5]оксадиазола 3б. К раствору триазолофуразана **1** (111 мг, 1 ммоль) в MeOH (3 мл) при интенсивном перемешивании по каплям прибавили раствор KOH (56 мг, 1 ммоль) в MeOH (2 мл) при комнатной температуре. Реакционную смесь перемешивали при этой температуре в течение 30 мин, после чего растворитель удалили в вакууме. Получили кристаллы K-соли **3б** темно-желтого цвета с количественным выходом, которую использовали в дальнейших реакциях без очистки.

Триэтиламмониевая соль 4Н-[1,2,3]триазоло[4,5-*c*][1,2,5]оксадиазола 3с. К раствору триазолофуразана **1** (111 мг, 1 ммоль) в MeCN (5 мл) при интенсивном перемешивании прибавили по каплям Et₃N (101 мг, 1 ммоль, 0.14 мл) при комнатной температуре. Реакционную смесь перемешивали при этой температуре в течение 30 мин, после чего полученный раствор использовали в дальнейших реакциях.

DBU-соль 4Н-[1,2,3]триазоло[4,5-*c*][1,2,5]оксадиазола 3д. К раствору триазолофуразана **1** (111 мг, 1 ммоль) в MeCN (5 мл) при интенсивном перемешивании прибавили по каплям DBU (152 мг, 1 ммоль) при комнатной температуре. Реакционную смесь перемешивали при этой температуре в течение 30 мин, после чего полученный раствор использовали в дальнейших реакциях.

Общая методика метилирования солей 4Н-[1,2,3]триазоло[4,5-*c*][1,2,5]оксадиазола 3а–d. К суспензии (**3а**) или раствору (**3б–d**) соли (1 экв.) в MeCN (5 мл) при интенсивном перемешивании прибавили MeI (5 экв.) при комнатной температуре. Реакционную смесь перемешивали при этой температуре в течение 24 ч, после чего растворитель удалили в вакууме. Методом флэш-хроматографии (элюент – петролейный эфир–EtOAc, 1 : 1 (об.)) из продукта-сырца отделили смесь изомеров (выход и соотношение изомеров см. табл. 1), которую разделили с помощью хроматографии (элюент – петролейный эфир–EtOAc,

5 : 1 (об.)) и в результате выделили изомеры **4a,b** в виде индивидуальных веществ.

4-Метил-[1,2,3]триазоло[4,5-*c*][1,2,5]оксадиазол 4a. Маслообразный продукт желтого цвета. ¹H ЯМР (500 МГц, ацетон-d₆, δ, м. д.): 4.39 (с, 3Н, CH₃). ¹³C ЯМР (126 МГц, ацетон-d₆, δ, м. д.): 35.1 (CH₃), 154.2 (C(3а)), 171.2 (C(6а)). ¹⁴N ЯМР (36 МГц, ацетон-d₆, δ, м. д.): 54 (N(1) или N(3), ν_{1/2} = 280 Гц), 23 (N(1) или N(3), ν_{1/2} = 400 Гц), 8 (N(5), ν_{1/2} = 260 Гц), -55 (N(6), ν_{1/2} = 180 Гц), -183 (N(4), ν_{1/2} = 270 Гц). ИК (тонкий слой, ν_{max}, см⁻¹): 2958, 2928, 2858, 1628, 1554, 1468, 1332, 1201, 1145, 1030, 972, 845, 763, 610. Масс-спектр (HRMS, ESI), *m/z*: 126.0412. Рассчитано для [C₃H₃N₅O + H]⁺: 126.0410.

5-Метил-[1,2,3]триазоло[4,5-*c*][1,2,5]оксадиазол 4b. Кристаллы бледно-желтого цвета, T_{пл.} = 66–68°C. ¹H ЯМР (500 МГц, ацетон-d₆, δ, м. д.): 4.76 (с, 3Н, CH₃). ¹³C ЯМР (126 МГц, ацетон-d₆, δ, м. д.): 46.1 (CH₃), 165.6 (C(3а) и C(6а)). ¹⁴N ЯМР (36 МГц, ацетон-d₆, δ, м. д.): 28 (N(1) и N(3), ν_{1/2} = 400 Гц), -72 (N(5), ν_{1/2} = 45 Гц), -80 (N(4) и N(6), ν_{1/2} = 280 Гц). ИК (KBr, ν_{max}, см⁻¹): 2957, 2925, 2854, 1633, 1582, 1429, 1410, 1326, 1289, 1239, 1049, 832, 807, 588. Масс-спектр (HRMS, ESI), *m/z*: 126.0409. Рассчитано для [C₃H₃N₅O + H]⁺: 126.0410.

Аминирование K-соли 4Н-[1,2,3]триазоло[4,5-*c*][1,2,5]оксадиазола 3б. К раствору триазолофуразана **1** (278 мг, 2.5 ммоль) в MeOH (5 мл) по каплям при перемешивании прибавили раствор KOH (210 мг, 3.75 ммоль) в MeOH (5 мл) при комнатной температуре. Через 10 мин к полученному раствору прибавили свежеприготовленный NH₂OTs (702 мг, 3.75 ммоль) при интенсивном перемешивании и охлаждении водой со льдом. После введения всего аминирующего реагента охлаждающую баню убрали и реакционную смесь перемешивали в течение 15 мин до исчезновения исходной соли (контроль ТСХ, элюент – петролейный эфир–EtOAc, 1 : 1 (об.), R_f = 0.5 для соединения **5**). Затем реакционную смесь профильтровали через короткую колонку с силикагелем (элюент – EtOAc), после чего растворитель удалили в вакууме. Остаток разделили с помощью хроматографии (элюент – EtOAc–MeOH, 5 : 1 (об.)). Получили 4-азидо-3-аминофуразан **5** (98 мг, 31%), который идентичен описанному ранее в литературе [11].

Аминирование DBU-соли 4Н-[1,2,3]триазоло[4,5-*c*][1,2,5]оксадиазола 3д. К раствору триазолофуразана **1** (278 мг, 2.5 ммоль) в MeCN (5 мл) при перемешивании по каплям прибавили раствор DBU (570 мг, 3.75 ммоль) в MeCN (5 мл) при комнатной температуре. Через 10 мин к полученному

раствору прибавили свежеприготовленный NH_2OTs (702 мг, 3.75 ммоль) при интенсивном перемешивании и охлаждении водой со льдом. Дальнейший синтез проводили аналогично методике, описанной выше. Получили 4-азидо-3-аминофуразан 5 (47 мг, 15%).

ИСТОЧНИКИ ФИНАНСИРОВАНИЯ

Работа выполнена при финансовой поддержке Российского научного фонда (проект № 22-13-00089).

СПИСОК ЛИТЕРАТУРЫ

1. Gao H., Zhang Q., Shreeve J.M. // J. Mat. Chem. A. 2020. V. 8. № 8. P. 4193–4216.
<https://doi.org/10.1039/C9TA12704F>
2. Zelenov V.P., Lobanova A.A., Lyukshenko N.I., Sysolyatin S.V., Kalashnikov A.I. // Russ. Chem. Bull. 2008. V. 57. № 7. P. 1384–1389.
<https://doi.org/10.1007/s11172-008-0180-y>
3. Li X., Wang B., Li Y., Li H., Zhou C., Zhang Y., Lian P. // Chin J. Energy Mater. 2013. V. 21. P. 717–720.
<https://doi.org/10.3969/j.issn.1006-9941.2013.06.005>
4. Voronin A.A., Fedyanin I.V., Churakov, A.M., Pivkina A.N., Muravyev N.V., Strelenko Y.A., Klenov M.S., Lempert D.B., Tartakovsky V.A. // ACS Appl. Energ. Mat. 2020. V. 3. № 9. P. 9401–9407.
<https://doi.org/10.1021/acsaelm.0c01769>
5. Voronin A.A., Balabanova S.P., Fedyanin I.V., Churakov A.M., Pivkina A.N., Strelenko Yu.A., Klenov M.S., Tartakovsky V.A. // Molecules. 2022. V. 27. № 19. P. 6287.
<https://doi.org/10.3390/molecules27196287>
6. Kaihoh T., Itoh T., Yamaguchi K., Ohsawa A. // J. Chem. Soc., Perkin Trans. 1. 1991. V. 8. P. 2045–2048.
<https://doi.org/10.1039/P19910002045>
7. Campbell C.D., Rees C.W. // J. Chem. Soc. C. 1969. V. 5. P. 742–747.
<https://doi.org/10.1039/J39690000742>
8. Knight D.W., Little P.B. // J. Chem. Soc., Perkin Trans. 1. 2000. V. 15. P. 2343–2355.
<https://doi.org/10.1039/B001834L>
9. Larina L.I., Milata V. // Magn. Reson. Chem. 2009. V. 47. P. 142–148.
<https://doi.org/10.1002/mrc.2366>
10. Klapötke T.M., Piercy D.G., Stierstorfer J. // Dalton Trans. 2012. V. 41. P. 9451–9459.
<https://doi.org/10.1039/C2DT30684K>
11. Rakitin O.A., Zalesova O.A., Kulikov A.S., Makhova N.N., Godovikova T.I., Khmel'nitskii L.I. // Russ. Chem. Bull. 1993. V. 42. № 11. P. 1865–1870.
<https://doi.org/10.1007/BF00699005>

METHYLATION AND AMINATION OF 4*H*-[1,2,3]TRIAZOLO[4,5-*c*][1,2,5]OXADIAZOLE SALTS

S. P. Balabanova^a, A. A. Voronin^{a, #}, A. M. Churakov^a,
M. S. Klenov^a, and Academician of the RAS V. A. Tartakovsky^a

^aN.D. Zelinsky Institute of Organic Chemistry, Russian Academy of Sciences, 119991 Moscow, Russian Federation

#E-mail: voronin@ioc.ac.ru

The methylation and the amination of 4*H*-[1,2,3]triazolo[4,5-*c*][1,2,5]oxadiazole salts (K^+ , Ag^+ , Et_3NH^+ , DBU H^+) were studied for the first time. It is shown that two methylated products are formed in the reaction. In the case of K- and Et_3N -salts, 4- and 5-methylated isomers are formed in equal proportions, and in the case of Ag- and DBU-salts, the main product is the 4-isomer. It was found that the main product of amination of both 4*H*-[1,2,3]triazolo[4,5-*c*][1,2,5]oxadiazole K- and DBU-salts with *O*-(*p*-tolylsulfonyl)hydroxylamine is 4-azido-3-amino-1,2,5-oxadiazole. The mechanism of its formation as a result of rearrangement of 5-amino-[1,2,3]triazolo[4,5-*c*][1,2,5]oxadiazole is proposed.

Keywords: 1,2,3-triazole, 1,2,5-oxadiazole, amination, methylation